

Գեոլոգ. և шушигншаг. арт. ивгрш X, № 4, 1957 Серия геологич. и географич. наук-

полезные ископаемые

С.С. ВАНЮШИН

ГЕОЛОГИЧЕСКИЕ УСЛОВИЯ ФОРМИРОВАНИЯ ШТОКВЕРКОВ В КАФАНСКОМ РУДНОМ ПОЛЕ

Введение

В Кафанском рудном поле Армянской ССР, известном своим классически выраженным типом жильного оруденения, в последние 10—15 лет рудничной разведкой были выявлены крупные участки прожилково-вкрапленного оруденения штокверкового характера, запасы руды в которых в настоящее время заключают более $80^{\circ}/_{\circ}$ общих запасов Кафанского месторождения и являются основной сырьевой базой Зангезурского рудоуправления Совнархоза Армении.

В статье освещаются некоторые закономерности образования двух наиболее крупных участков прожилково-вкрапленного оруденения Кафанского рудного поля, основанные на фактическом материале собранном автором за время руководства разведочными работами на месторождении в 1941—1951 гг. и дальнейшего изучения его в последующие годы.

Краткая геолого-минералогическая характеристика рудного поля

Кафанское рудное поле, сложенное вулканогенно-осадочными породами юры общей мощностью более 2000 метров, представлено двадцатью тремя рудными участками, размерами в 0,1—0,5 кв. км каждый, разбросанными на площади в 30—35 кв. км, в интервале абсолютных отметок от 800 м до 1350 метров. Эти участки вмещают обычно от 2—10 до 45—87 рудных жил с зонами прожилково-вкрапленного оруденения, и будучи структурно-геологически и пространственно обособлены друг от друга, фактически являются отдельными месторождениями. Всего во всех участках, к настоящему времени, известно 350 преимущественно слепых рудных жил и примерно 14 слепых штокверков, из которых около половины жил и 4 штокверка являлись промышленными и разрабатывались отдельными рудниками в разное время с середины прошлого века до настоящего времени. В 1957 году в эксплоатации находится 17 жил и 2 штокверка.

Геология и структура месторождения впервые были описаны в 1934—1936 гг. В Г. Грушевым, М. П. Русаковым [1] и В. Н. Котля-

ром [2], их материалы нами пополнены на основе новых данных, на-копленных за последние 15 лет.

Основной структурной единицей района месторождения является крупная Кафанская антиклиналь общекавказского простирания, в приосевой части которой, на восточном крыле брахиантиклинального раздува ее, и располагается Кафанское медное месторождение. На пологих крыльях антиклинали, и особенно на восточном ее крыле развит ряд разрывных нарушений СВ, СЗ, меридионального и широтного простирания, образовавших первичную структурную решетку дорудных разломов, определившую участки локализации оруденения.

Структурный контроль оруденения в рудном поле проявляется весьма четко в пространственной связи всех указанных выше рудоносных участков с крупными дорудными разломами. Из 23 рудоносных участков месторождения 19 участков залегают в лежачем и висячем крыльях дорудных разломов и только четыре в структурах так называемых "экранирующих крыш", представляющих собою комбинацию из плоскостей двух или трех взаимно пересекающихся вверху разломов.

Все рудные участки месторождения по типу контролирующих их структур, нами объединяются в следующие четыре группы (две из которых заимствованы из классификации Ф. И. Вольфсона) [3]:

- 1. Рудные участки, расположенные в районах изгибов крупных тектонических нарушений.
- 2. Рудные участки залегающие в замкнутых структурах экранирующих крыш.
- 3. Рудные участки, прилегающие непосредственно к крупным тектоническим нарушениям и залегающие в сопряженных с ними трещинных зонах.
- 4. Рудные участки несколько удаленные от крупных тектонических нарушений, залегающие на площадях развития боковых тектонических швов, оперяющих главные нарушения.

Все крупные разломы сопровождаются сопряженными с ними зонами трещиноватости, развивающимися локально—в блоках подвергшихся наибольшему напряжению. При удалении от разломов на 150—200 метров, в поперечном к ним направлении, трещиноватость резко уменьшается, а затем и целиком прекращается, в связи с полной разрядкой принятого данным блоком механического напряжения. Оруденение в основном приурочено к рудовмещающим полостям в участках повышенной трещиноватости и развивается в пределах полосы вышеуказанной ширины вдоль разломов. Данная основная закономерность локализации оруденения в Кафанском рудном поле впервые была установлена нами в 1945—1947 гг. и подтверждена всей дальнейшей практикой разведки месторождения за последние 10 лет, обеспечивая ежегодно нахождение новых слепых рудных тел.

Структурный контроль оруденения в рудных участках проявляется также в резко выраженном склонении отдельных рудных жил,

штокверков и целых участков (рудник № 6) под главные контролирующие их разломы.

Отмечается контролирующая роль дорудных даек кварцпорфира в отношении распределения оруденения в рудном поле Кафана, проявляющаяся в пространственной и парагенетической связи с дайками следующих рудных участков: рудников №№ 6, 7—10, Хрда, Барабатум и старых рудников Хазна, Гюней, Норашеник, Арчадзор и Хлатаг.

Общие черты металлогении Кафанского рудного района описаны в работе И. Г. Магакьяна и С. С. Мкртчяна, нами здесь приводятся новые данные, пополняющие материалы вышеуказанных авторов.

Медная минерализация в районе строго стратифицирована, будучи приурочена исключительно к нижне-юрским и средне-юрским породам, только самая последняя безрудная стадия его выражена кальцитовыми, кварц-флюоритовыми и опало-халцедоновыми жилами, секущими верхне-юрские туфоконгломераты и туфобрекчии.

Минеральный состав первичных медных руд во всех рудных участках, кроме одного, исключительно прост и представлен двумя рудообразующими сульфидами-халькопиритом и пиритом, с незначительной примесью борнита, теннантита, сфалерита, реже марказита и других минералов. В полиметаллических месторождениях (Шаумян, Барабатум) главными минералами в верхних горизонтах жил являются галенит, сфалерит, пирит и халькопирит; с глубиной количество галенита, а потом и сфалерита, уменьшается при одновременном увеличении в руде содержания халькопирита и пирита. Нерудные минералы представлены в основном кварцем и, в ничтожном количестве кальцитом, гипсом, каолинитом, а в полиметаллических участках еще и флюоритом. На юго-восточом фланге рудника № 6 отмечена совершенно отличная от других участков рудная формация, в которой развиты гипогенные пирит-халькозин-борнит-энаргитовые руды с незначительными количествами халькопирита, теннантита и ковеллина. В верхних горизонтах присутствует также сфалерит.

Формирование рудных тел месторождения происходило в условиях низких до средних температур ($100-275^{\circ}$), на глубине 200-700 мегров от поверхности.

Заполнение рудовмещающих трещинных структур происходило в течение единого рудного процесса, подразделяемого на несколько стадий с пульсационным характером поступления в них растворов, с привносом и выносом веществ, при взаимодействии рудообразующих растворов с вмещающими породами. Главная масса меди в Кафанском месторождении была выделена в основную рудную стадию—именуемую нами медной, отложившей в большей части рудных участков руды халькопирит-пиритовой формации, с резким преобладанием в них халькопирита. Теннантит и энаргит в этих рудах весьма редки и являются более поздними. Значительно меньшая часть меди отложена в

следующую стадию рудоотложения, именуемую медно-мышьяковой, в которую были отложены руды пирит-халькозин-энаргитовой формации с примесью теннантита. Данной стадии предшествовало трещинообразование в узко локализованных участках и в частности в зоне развитой вдоль гипсового разлома в руднике № 6. Для этой стадии характерно широкое участие коллоидных растворов сильно обогащенных медью и серой и бедных железом, что при наличии повышенного кислородного потенциала растворов обусловило отложение богатых медью первичных минералов: халькозина, энаргита, борнита и ковеллина вместе с пиритом и незначительным количеством халькопирита, выделившегося позже всех других минералов.

В третью стадию минерализации—именуемую цинковой, были отложены руды полиметаллического состава в рудниках им. Шаумяна, Барабатум, Чинар, Норашеник и др., представленные преимущественно сфалеритом, халькопиритом и пиритом, с небольшим количеством галенита и теннантита в верхних горизонтах рудных жил (обычно почти нацело эродированных) с примесью тетрадимита, алтаита, золота и серебра.

В рудах этой стадии отмечены в основном массивные и симметрично-полосчатые текстуры грубозернистого строения, без признаков участия коллоидных растворов в их образовании.

Геохимические особенности Кафанского рудного поля характеризуются: 1) весьма высоким содержанием меди в жильной массе, в связи с выполнением трещин колчеданными рудами массивной текстуры, с преобладанием в них халькопирита; 2) почти полным отсутствием в рудах молибдена; 3) привносом в процессе дорудного гидротермального метаморфизма вмещающих пород—железа, магния и воды и выносом из них кремния, алюминия, кальция, натрия и калия.

Генезис рудопроявлений района автор, в согласии с большинством исследователей его, склонен связывать парагенетически с субвулканическими интрузиями кварцевых порфиров, считая источником оруденения глубинный магматический очаг породивший экструзии кварцепорфиров; последние в виду их малого объема сами не могли быть источником столь интенсивно развитого оруденения.

По общему комплексу характерных признаков условий образования, Кафанское рудгое поле относится к типу гидротермальных—переходных от среднетемпературных к низкотемпературным месторождений малых глубин.

Прожилково-вкрапленное оруденение

Участки с прожилково-вкрапленным оруденением в Кафанском рудном поле впервые начали разрабатываться еще в середине второй половины прошлого века в руднике Гаврил-Магара (верхние горизонты штокверка рудника N = 7 - 10), в рудниках Мецмагара, Беюк, Пача и Саралых. Однако после открытия богатых жильных руд все эти участки, за исключением рудника N = 7 - 10, перестали эксплоатироваться с начала XX века.

После национализации Кафанских рудников и их частичной реконструкции вся добыча медных руд с 1929 г. по 1942 г. велась исключительно на жильных объектах и лишь с 1943—1944 гг. в рудниках № 7—10 и № 6 начали разрабатывать штокверковые руды пиритхалькопиритовой формации, а с 1953—1954 гг. руды халькозин-борнит-энаргитовой формации в восточной зоне прожилково-вкрапленного оруденения рудника № 6. Возможность наличия здесь промышленных руд прожилкового типа отмечали В. Н. Котляр и Ф. В. Шутлив, а после их открытия они описывались Б. С. Вартапетяном [4] и С. С. Ванюшиным.

В настоящее время в Кафанском рудном поле известно 14 участ-ков с проявлением прожилкового и вкрапленного оруденения различного минерального состава, масштаба и промышленного значения. Из них 6 участков находятся в старых, теперь недоступных, рудниках (им. Шаумяна, Саралых, Пагалты, Беюк, Харлампий и Пача), частично осмотренных автором в 1942—1944 гг. Остальные 8 участков расположены в ныне действующих рудниках №№ 1—2, 6 и 7—10. Объем статьи не поэволяет нам дать хотя бы краткую характеристику всех вскрытых зон с вкрапленным и прожилковым оруденением, поэтому мы ограничиваемся описанием двух наиболее типичных и крупных из них.

Штокверк рудника № 7-10

Рудник № 7—10 находится на северо-западном фланге Кафанского месторождения на южном склоне горы Саяддаш, в месте ответвления от нее Саяддашского хребта. В геологическом строении участка принимают участие преимущественно туфогенно-осадочные породы средней и верхней юры представленные (сверху вниз): 1) туфобрекчиями, туфоконгломератами, грубозернистыми туфами и туфопесчаниками—верхней юры, общей мощностью 200—240 м; 2) ангидрито-гипсовой толщей, туфопесчаниками, туфами, туфоконгломератами, плагиоклазовыми и кварцплагиоклазовыми порфиритами и туфобрекчиями—средней юры, общей мощностью 300—320 м; и 3) эпидотизированными брекчиевидными и мандельштейновыми порфиритами—нижней юры.

Верхнеюрские породы и две верхние свиты среднеюрских пород развиты только на восточном фланге рудника за восточно-саяддашским разломом. Нижнеюрские породы слагают ядро Кафанской антиклинали и вероятно западный фланг рудника на уровне гор 810 метров.

Туфогенно-осадочные породы средней юры на западном фланге рудника прорваны дорудной дайкой интрузивного кварцпорфира доверхнеюрского возраста, а на восточном фланге субвулканическими интрузиями альбитофира верхнеюрского возраста и дайками габбродиорита и диабаза мелового возраста.

Структура рудного участка. Участок залегает в тектоническом блоке деформированных пород расположенном на восточном крыле Известия X, № 4—6

Кафанской антиклинали ССЗ простирания, разбитой двумя разрывными нарушениями, простирающимися параллельно оси складки в северо-западном направлении. Эти разломы контролируют оруденение участка.

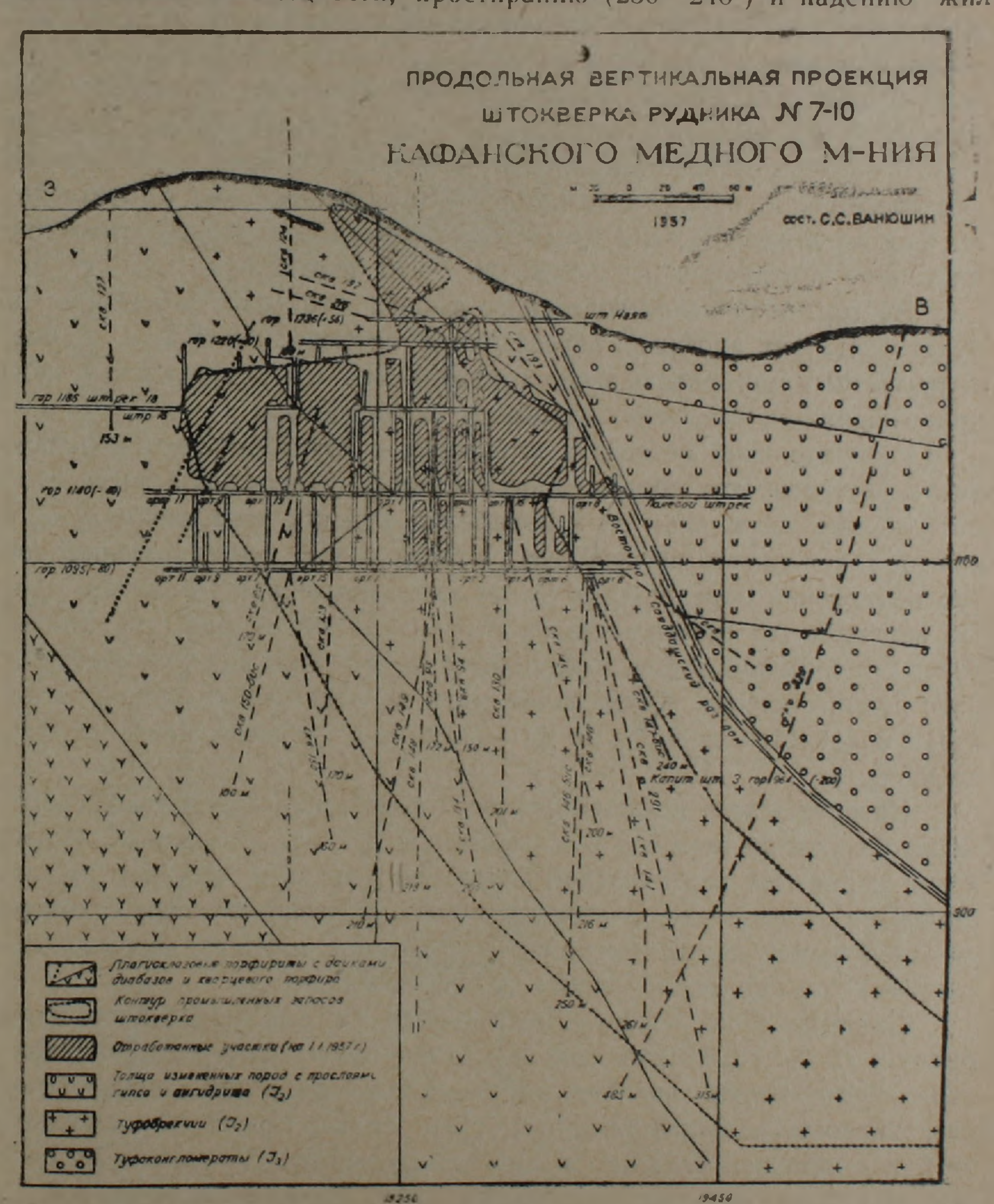
Наиболее крупным из них является восточно-саяддашский разлом взбросо-сдвигового характера; у восточной оконечности штокверка он резко меняет свое простирание с северо-западного на меридиональное и падение с северо-восточного на восточное. Разлом прослежен горными выработками рудника на пяти горизонтах, а на поверхности от устья капитальной штольни № 2 на 0,5 км севернее села Башкенд. Зона разлома всюду представлена полосой рассланцованных. перемятых и огипсованных пород. Мощность его на верхних горизонтах равна 13—15 метров, а на горизонте капитальной штольни № 3 всего 5 метров. Разлом дорудный, но по нему имели место пострудные подвижки, он ограничивает рудное поле с востока и обусловливает восточное склонение рудного тела штокверка. Менее изученным разломом является Западно-Саяддашский ограничивающий рудное поле рудника с запада. Он имеет северо-западное простирание (310°), падает на ЮЗ под углами 60-80 и хорошо фиксируется в нижней штольне Хаджи и на горе Саяддаш, сложенной альбитофирами.

По этим разломам с запада и востока на блок рудного поля были надвинуты прилегающие участки месторождения, сложенные темиже вулканогенными породами, среди которых на восточном крыле развита ангидритовая толща мощностью 65-70 метров. В результате возникших тектонических напряжений рудный блок, расположенный в лежачих блоках разломов локально подвергся слабому дроблению. с образованием двух систем мелких трещин широтного направления, сопряженных на западе только с западно-саяддашским разломом, а на востоке только с восточно-саяддашским разломом. На участке резкого изгиба последнего в рудном блоке образовалась сопряженная с разломом сколовая зона дробления, в виде системы мелких параллельных, кулисообразно расположенных трещин, северо-восточного простирания падающих на юго-восток. Установленная нами схема формирования структуры участка рудника № 7—10, вопреки мнению Б. С. Вартапетяна [4], лишает возможности считать его залегающим в структуре экранирующей крыши.

Медная минерализация в руднике морфологически представлена жильным и штокверковым типом оруденения. На всей площади участка протяжением до 1 км известно около 40 небольших жил и 1 крупный штокверк; 33 жилы находятся южнее штокверка и не имеют связи с последним, 7 жил располагаются севернее штокверка, залегая в сопряженных с ним трещинах, со встречным штокверку южным падением. Промышленное значение имели только 12 жил, из них лишь одна жила № 5-сев. разрабатывается в настоящее время на северном фланге штокверка, а остальные жилы эксплоатировались до 1943 года на южном фланге рудника.

Зона прожилково-вкрапленного оруденения в руднике $N \ge 7-10$ представлена крупным, линзовидной формы телом, широтного простирания (270°) и северного падения $(70-80^\circ)$, с размерами: в длину 200-220 м, по мощности 10-15 метров и по вертикали 470-550 метров. Рудная минерализация выполняет участок дробления, образовавнийся в лежащем боку восточно-саяддашского разлома (аз. 320°), сложенный туфобрекчиями и кварцево-плагиоклазовыми порфиритами средней юры, прорванными на западном фланге его дайками кварцевого порфира и диабаза (фиг. 1).

Минерализация зоны выражена серией параллельных, коротких, непостоянных по мощности, простиранию (230—240°) и падению жил



Фиг. 1.

и прожилков халькопиритового, пирит-халькопиритового и кварцевого (с вкрапленностью сульфидов) состава, сопровождаемых гнездами и вкрапленниками тех же минералов, располагающихся между ними во вмещающих породах. Жилы и прожилки обычно имеют протяженность 15—25 метров и залегают под углом 45° к простиранию рудного тела, с падением их на юго-восток под углами 50—60°. По падению и простиранию жилы и прожилки кулисообразно сменяют друг друга. В центральной обогащенной части рудоносного участка, на горизонтах 1186, 1140 и 1095 были встречены кулисообразно залегающие короткие (15—25 метров) линзы сплошного халькопирита массивной текстуры, мощностью до 1,0—1,5 м, протягивающиеся по падению на 25—35 метров и имеющие аналогичное всей системе прожилков падение и простирание. Комплекс морфологических элементов характерных для участка прожилково-вкрапленного оруденения рудника № 7—10 позволяет отнести его к типу штокверковых залежей.

В верхних горизонтах штокверка в висячем боку его по трещинам оперения от него отходит ряд самостоятельных жил с обратным—южным падением—в этом проявляется взаимосвязь между этими двумя типами оруденения в руднике \mathbb{N} 7—10 (фиг. 2).

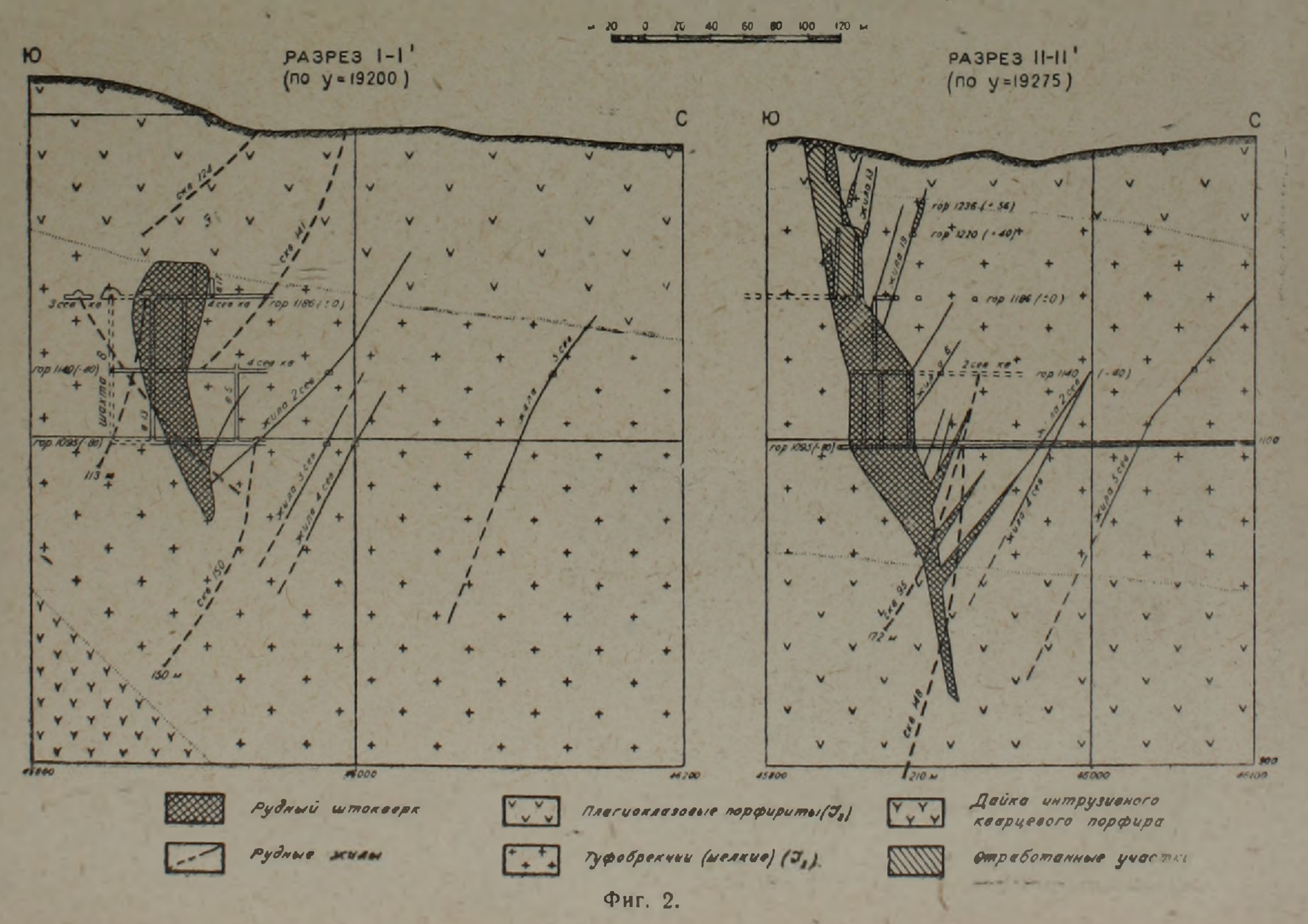
На гор. 1095 вдоль восточного фланга штокверка в висячем боку его залегает апофиза, пересеченная ортами №№ 0, 2, 4 и 6-ым штреком по простиранию, выше горизонта она переходит в жилу, ниже продолжение ее встречено буровыми скважинами.

Распределение металла в штокверке в горизонтальном направлении характеризуется обогащенностью медью центральной части его с постепенным снижением ее к периферии рудного тела, как по простиранию, так и вкрест простирания, в связи с чем промышленный контур оруденения определяется по данным химических анализов проб. По вертикали от поверхности на глубину до 400 метров, по данным горных и буровых работ, наблюдается та-же самая картина обогащенного рудного столба. Содержание меди по отдельным блокам штокверка колеблется от $0.5^{\circ}/_{\circ}$ до $4.0-7.0^{\circ}/_{\circ}$, а в рядовой руде от $0.7^{\circ}/_{\circ}$ до $2.5^{\circ}/_{\circ}$.

Интересен факт исключительного однообразия минерального состава штокверка по падению и простиранию во всех скважинах. Проявлений первичной вертикальной зональности по всей глубине рудного столба не наблюдается; нельзя подметить и литологического контроля—оруденение одинаково развито в плагиоклазовых, кварц-плагиоклазовых порфиритах и мелких туфобрекчиях.

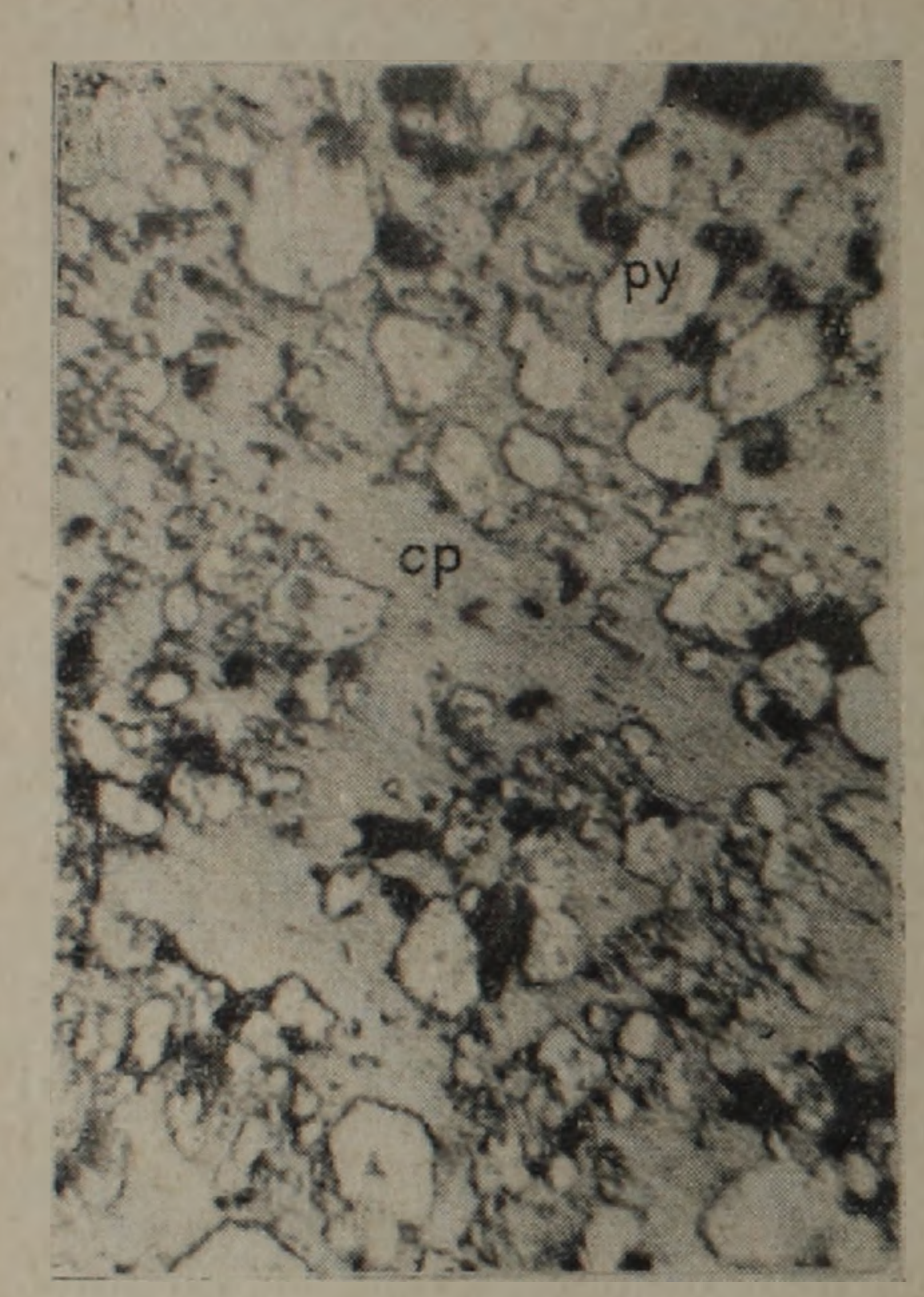
Специфической чертой минерального состава штокверковых руд рудника № 7—10, отличающей его от других рудных участков Кафанского рудного поля, является полное отсутствие в нем колломорфной разновидности халькопирита, наиболее сильно развитой в руднике № 6 и в меньшей степени в других рудниках. В руднике № 7—10 только в жиле № 5-сев., мощностью 0,7—1,8 метра, сопряженной со штокверком, автором наблюдались довольно крупные гнезда и линзы

ПОПЕРЕЧНЫЕ РАЗРЕЗЫ ШТОКВЕРКА РУДНИКА № 7-10



халькопирита колломорфной текстуры, с микроскопически мелкой вкрапленностью кристаллического пирита (фиг. 3).

Минеральный состав гипогенных руд штокверка исключительно прост и ограничивается двумя рудообразующими сульфидами—халь-копиритом и пиритом, нескольких генераций. Количественные соотно-



Фиг. 3. Катакластическая структура. Раздробленный кристаллический пирит в колломорфмом халькопирите. Жила № 5 сев. гор. 1095 рудника № 7—10. 100.

шения обоих минералов примерно равны, но непостоянны, давая переменное преобладание то одного то другого из них. Нерудные минералы представлены в основном кварцем нескольких генераций, с незначительным количеством кальцита, гипса и каолинита.

Отложение руд в штокверке происходило в основную рудную стадию минерализации месторождения путем выполнения рудами пирит-халькопиритовой формации системы параллельных открытых трещинных полостей и бесчисленного количества пустот и мелких пор, неизбежно образующихся в зоне дробления. Текстурные и структурные особенности руд, исключительно сложные конфигурации сульфидных минералов, наблюдавшиеся автором и другими исследователями

(А. Пэк) в очистных забоях, реликты боковых пород в рудах и наличие взаимопереходов между различными типами руд, говорят о некоторой роли метасоматических процессов в образовании руд, наряду с процессами отложения материала в трещинных пустотах, игравших главную роль.

Для штокверковых руд участка характерны брекчиевая, прожилковая, вкрапленная, массивная и реже крустификационая текстуры. Колломорфные текстуры отсутствуют. Преобладающим типом структур в рудах являются крупно и среднезернистая реликтовая, коррозионная и структура пересечения.

Штокверк рудника № 7—10, несмотря на довольно детальную разведанность его буровыми скважинами, еще далеко не исчерпал своих возможностей дальнейшего прироста запасов промышленной руды, за счет выявления новых апофиз штокверка (аналогично вскрытой в 1956 году на гор. 964) и детальной разведки глубоких горизонтов его, с учетом восточного склонения рудного тела.

Штокверк рудника № 6

Рудник № 6 находится в центральной части Кафанского рудного поля, под расположенным над ним селом Каварт. В геологическом отношении участок сложен теми-же свитами вулканогенно-осадочных пород что и рудник № 7—10, а именно верхними горизонтами среднеюрской толщи и нижними свитами верхней юры, общей мощностью в 400—450 метров. Эти породы на западном и восточном флангах участка прорваны мощными дайками кварцевого порфира дорудного возраста, а в центральной части его дайками габбро-диорита и диабаза пострудного возраста, повсеместно секущими рудные тела.

Структура рудного участка исключительно интересна и учебнопоказательна по четкости структурного контроля. Она выражена двумя экранирующими "крышами", представляющими собою замкнутые
сверху тектонические структуры, образованные четырьмя взаимно пересекающимися дорудными нарушениями: Мешмагаринским (Комсомольским), северо-восточным, Кавартдашаским и Гипсовым, типа сбросов и
взбросо-сдвигов СЗ, СВ и меридионального простирания, различного
падения. Эти разломы локально или во взаимодействии друг с другом
контролируют распределение оруденения в данном участке в виде двух
рудных блоков, из которых северный вмещает все рудные жилы пирит-халькопиритового состава разрабатывавшиеся с 1933 по 1953 гг.,
второй-же блок—южный включает восточную зону прожилково-вкрапленного оруденения с новой для Кафанского рудного поля пирит—
халькозин—энаргитовой формацией эндогенных руд.

Медное оруденение в руднике № 6 представлено жильным и штокверковым типом. Всего на 9-ти горизонтах рудника № 6 известно 87 рудных жил, их крупных апофиз и 2 штокверка, из них промышленное значение имели 55 жил и два штокверка.

В результате весьма интенсивной разработки жильного поля рудника № 6, в период 1933—1953 гг. все промышленные жилы вскрытые суммарно девятью горизонтами его, полностью выработаны (за исключением глубоких горизонтов жилы № 29) и рудник с 1954 года базирует всю свою добычу на восточной зоне прожилково-вкрапленного оруденения, описываемой ниже.

Жильное поле рудника в целом и ряд наиболее крупных жил слагающих его, имеют резко выраженное восточное склонение под экранирующий все поле северо-восточный разлом, являющийся главной контролирующей структурой данного участка.

Восточная зона прожилково-вкрапленного оруденения в руднике № 6 залегает на юго-восточном фланге последнего, сложенном нацело гидротермально измененными, осветленными, окварцованными и пиритизированными породами, образованными за счет метаморфизации кварцплагноклазовых порфиритов, туфов и туфопесчаников среднеюрского возраста. С востока по шву гипсового разлома на толщу измененных пород налегает свита, представленная рассланцованными и

огипсованными туфогенно-осадочными породами мощностью до 70 метров, с прослоями и линзами ангидрита до 1 метра мощностью, секущимися местами тонкими прожилками селенита.

Центральная часть рудного блока вмещающего зону прорвана пострудной дайкой габбро-диорита ЗСЗ простирания и крутого падения. В 120—150 метрах восточнее зоны залегает мощная дайка кварцевого порфира дорудного возраста.

Границы зоны прожилково-вкрапленного оруденения на северном и южном флангах разведкой еще не установлены, однако общие контуры ее и форма штокверковой залежи уже определились, в результате вскрытия центральной части ее на пяти горизонтах горных работ.

Описываемый штокверк представляет собою крупных размеров рудную залежь типа плоской линзы, мериднонально $(0-10^\circ)$ вытянутую, с переменными углами падения ее на восток от 35° до 60° . Выявленная разведкой длина её по простиранию на разных горизонтах колеблется от 300 до 450 м, а мощность на трех нижних горизонтах изменяется от 25 м до 30 м, увеличиваясь до 100-120 м на верхних горизонтах. По вертикали штокверк разведан-горными и буровыми работами на глубину 160 метров.

Медное оруденение выполняет тектонически деформированный блок в лежачем крыле гипсового разлома, морфологически представленый системой параллельных, кулисообразно залегающих, рудных жил и прожилков, широтного или близкого к нему простирания и крутого $(75^{\circ}-90^{\circ})$ падения, непостоянной мощности, колеблющейся от 0.08-0.30 м до 0.5-0.7 м, а в раздувах до 1.0-1.5 м и короткого протяжения (15-30 м), с гнездами и вкрапленниками тех-же минералов, располагающихся между прожилками или выполняющими мелкие самостоятельные участки.

Отдельных рудных жил, сопряженных с этим штокверком по трещинам оперения и имеющих, аналогично таковым в руднике № 7— 10, идентичный с ним вещественный состав, на участке не обнаружено, что указывает на отсутствие вертикальных смещений в данной рудолокализующей структуре.

Интенсивность оруденения в общем контуре зоны неравномерная, но в целом подчинена определенной закономерности, проявляющейся в локализации промышленного оруденения преимущественно в лежачем боку огипсованной толщи вдоль шва гипсового разлома, в виде полосы шириною 25—40 метров, прослеженной на всех пяти вскрывающих зону горизонтах. Далее же на запад от квершлагов степень оруденения резко ослаблевает, количество рудных прожилков, гнезд и вкрапленников в зоне резко уменьшается и они заменяются единичными жилами небольшой мощности и короткой протяженности (15—50 м).

Полоса промышленного оруденения, прилегающая к плоскости шва гипсового разлома, окаймляется с запада, параллельно расположенной

полосой безрудной кварцево-пиритовой минерализации, шириною в 60—100 метров.

По вертикали сверху вниз от гор. О до гор. —100 интенсивность рудной минерализации в зоне не ослабевает, в связи с чем имеется основание ожидать продолжения промышленного оруденения на глубину до гор. 813 и гор. 746.

Главной контролирующей структурой восточной зоны прожилково-вкрапленного оруденения рудника № 6 является гипсовой разлом, что подтверждается локализацией медного оруденения вдоль шва его и угасанием интенсивности минерализации по мере удаления от разлома на запад—в поперечном к нему направлении (фиг. 4).

Минеральный состав штокверка в руднике № 6 резко отличается от всех других меднорудных участков месторождения, в том числе и от жильного участка этого-же рудника, наличием в нем новой, ранее не наблюдавшейся в Кафанском рудном поле пирит-халькозин-энаргитовой формации эндогенных руд.

Руда восточной зоны прожилково-вкрапленного оруденения представлена следующими гипогенными рудообразующими сульфидами: пирит, халькозин, борнит, теннантит, энаргит, сфалерит, халькопирит, люцонит, ковеллин. Из нерудных минералов в ней установлен кальцит, гипс и каолинит.

Рудная минерализация в общем контуре штокверка по вертикали и горизонтали распределяется весьма неравномерно, обуславливая различие минерального состава и резкие колебания содержания меди в соседних блоках от промышленного до некондиционного, что осложняет эксплоатационные работы. Разница в вещественном составе рудных агрегатов, слагающих штокверк, определяется наложением различных минеральных ассоциаций в процессе рудогенеза.

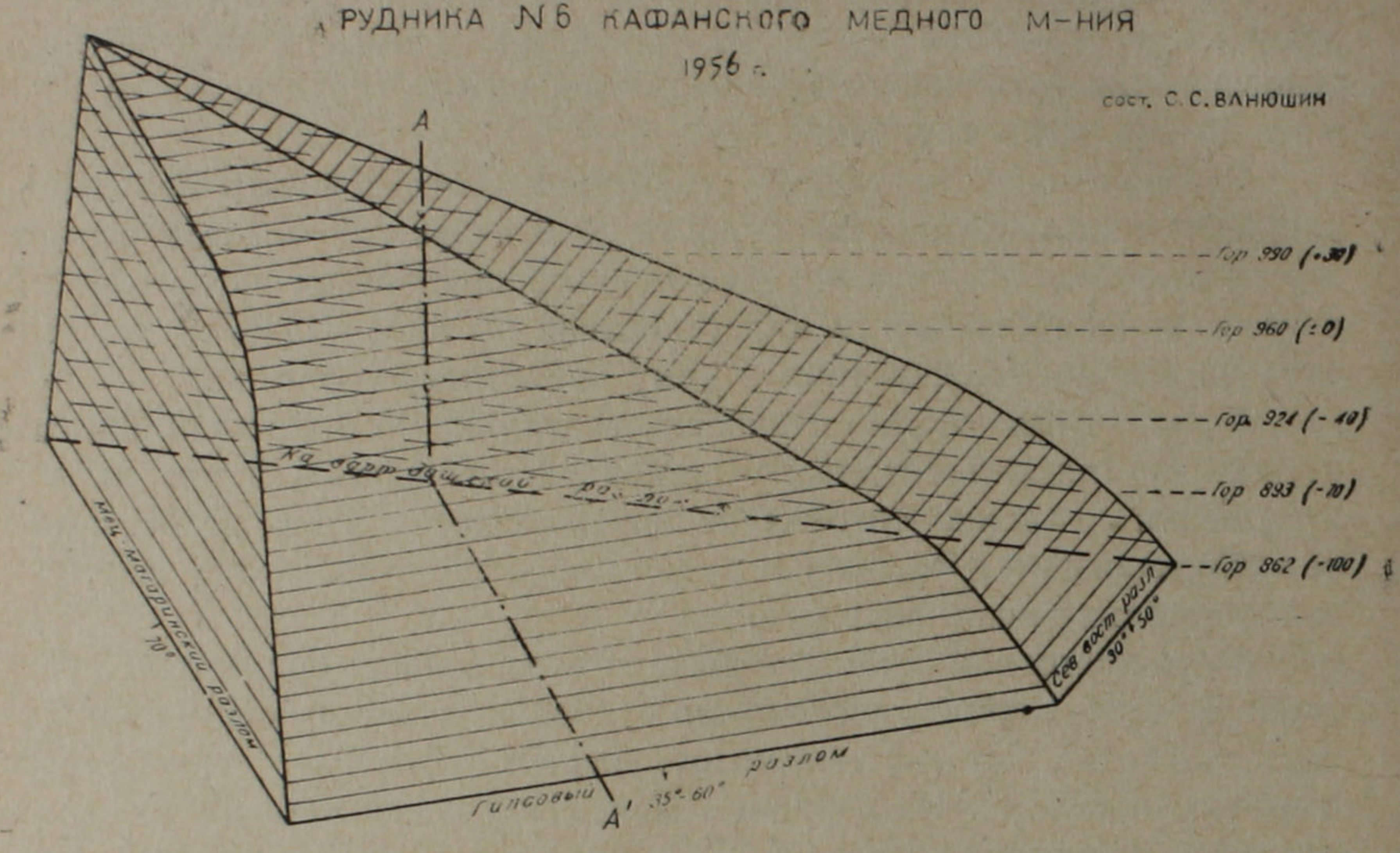
В штокверковых рудах нами отмечены следующие текстуры: прожилковая, вкрапленная, колломорфная, полосчатая и массивная.

Под микроскопом в аншлифах руд штокверка наблюдается наличие грубосферических, округлых, кольцевидных и ценочных текстур пирита в халькозине, сфалерите и борните, каплевидных выделений тениантита и халькопирита в борните, а также колломорфных зернистых структур пирита и халькозина, что со всей определенностью свидетельствует о коллоидном происхождении руд данного участка и выпадении их из растворов в форме геля (фиг. 5, 6, 7, 8).

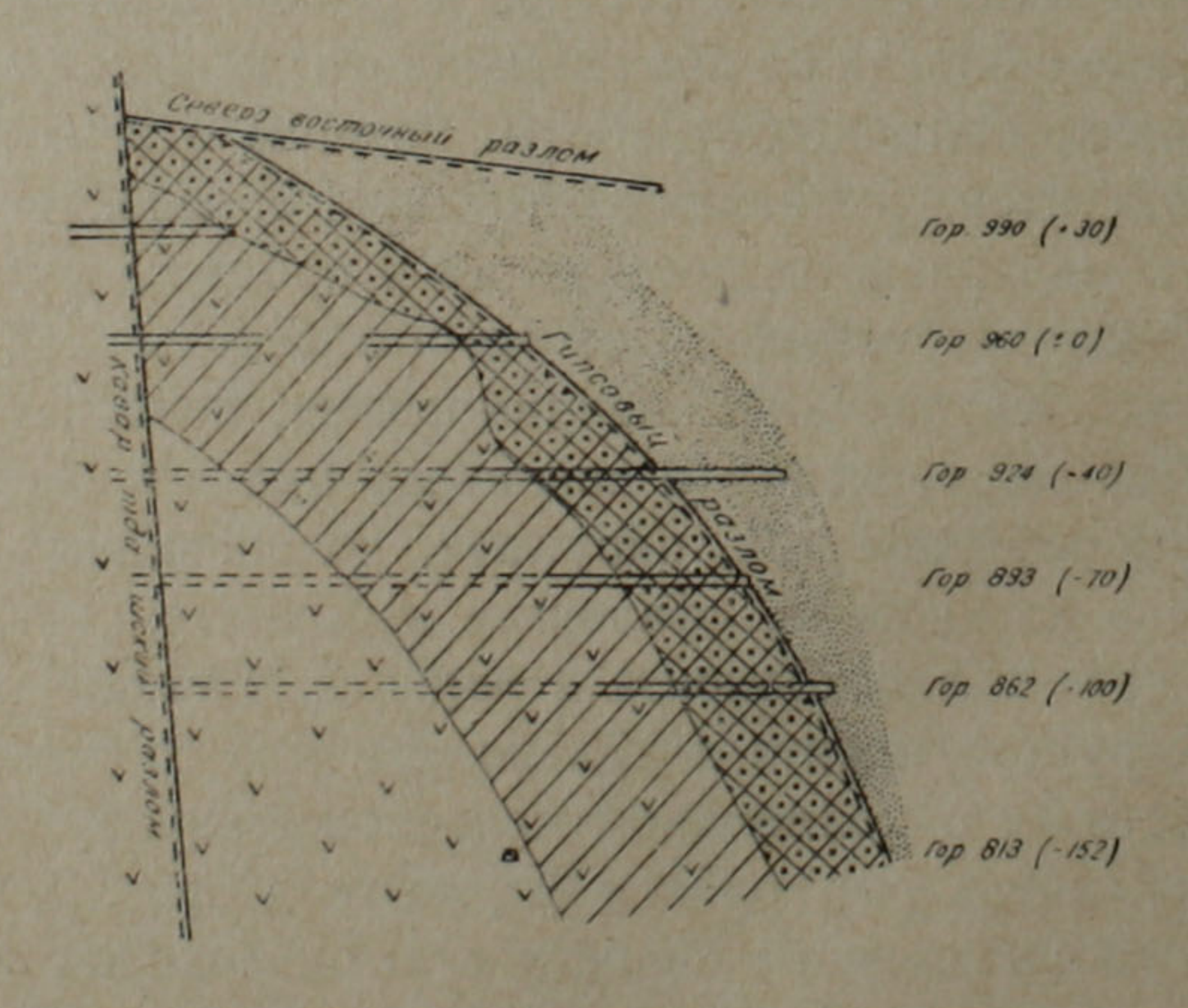
Рудовмещающие полости в штокверковой зоне выполнены одной или последовательно несколькими, из выделенных нами основных минеральных ассоциаций: кварц-пиритовой, пирит-халькозин-борнитовой, кварц-энаргит-пиритовой и пирит-сфалеритовой, часто пространственно обособленных.

Содержание меди в руках штокверка, по данным бороздового и товарного опробования, варьирует, по отдельным блокам зоны, от 0.3-0.5% до $3.5-4.3^{0}/_{0}$, показывая в рядовой руде, выдаваемой на обогатительную фабрику, относительно низкие средние содержания меди в

БЛОКДИАГРАММА СТРУКТУРЫ восточной зоны прожилково-вкрапленного оруденения



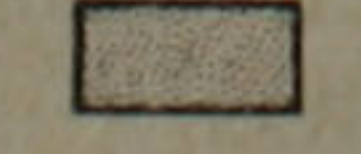
СХЕМАТИЧЕСКИЙ ГЕОЛОГИЧЕСКИЙ РАЗРЕЗ ПО А-А'



условные обозначения разреза



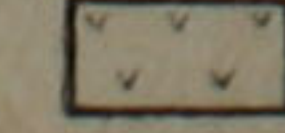
Участки промышленного оруденения (борнит, теннантит, халькозин, знаргит, хальколирит, сфалерит и пирит)



Огипсованная толща с прослоями;



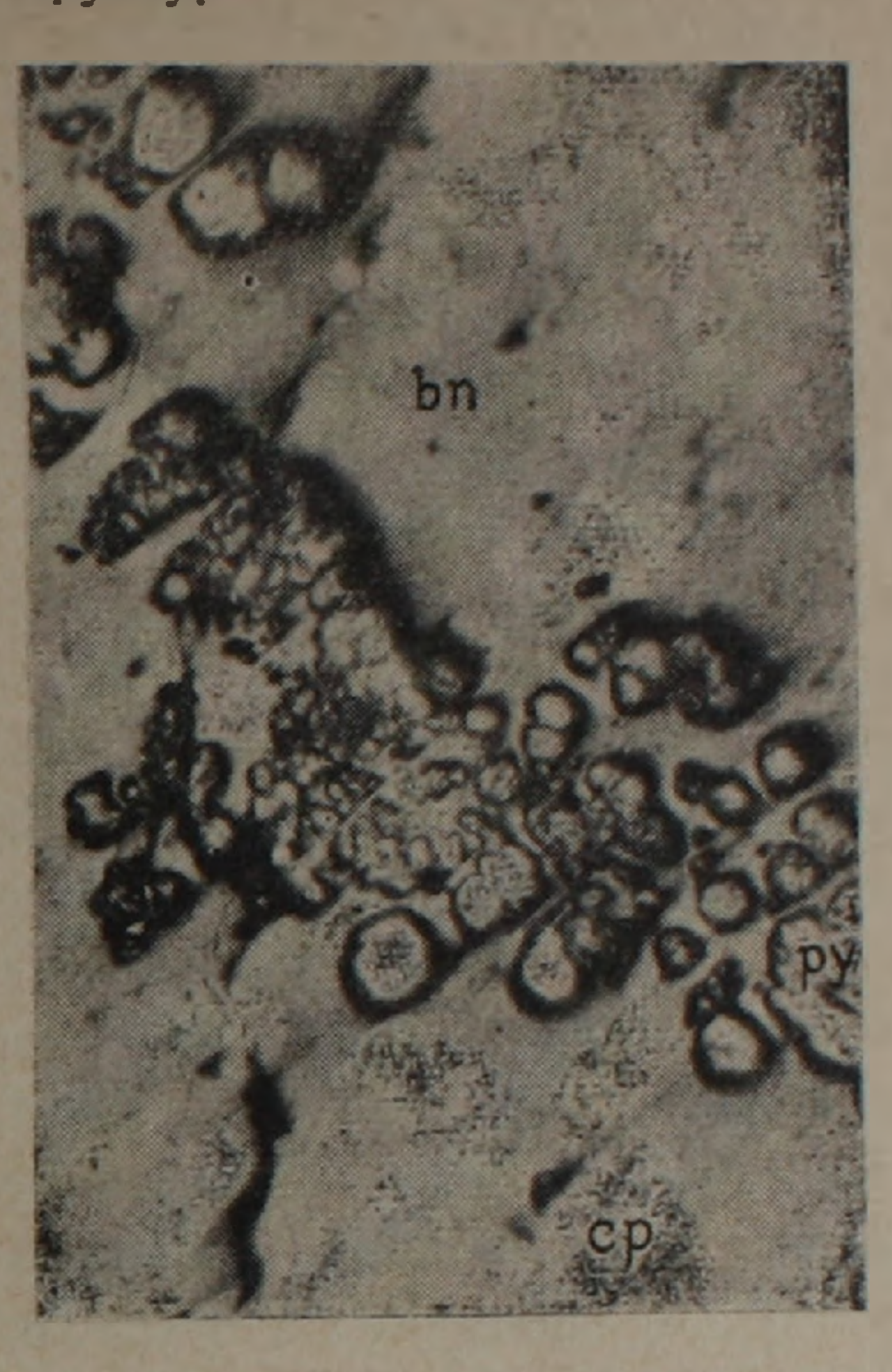
непромышленная кварц-пиритовая минерализация



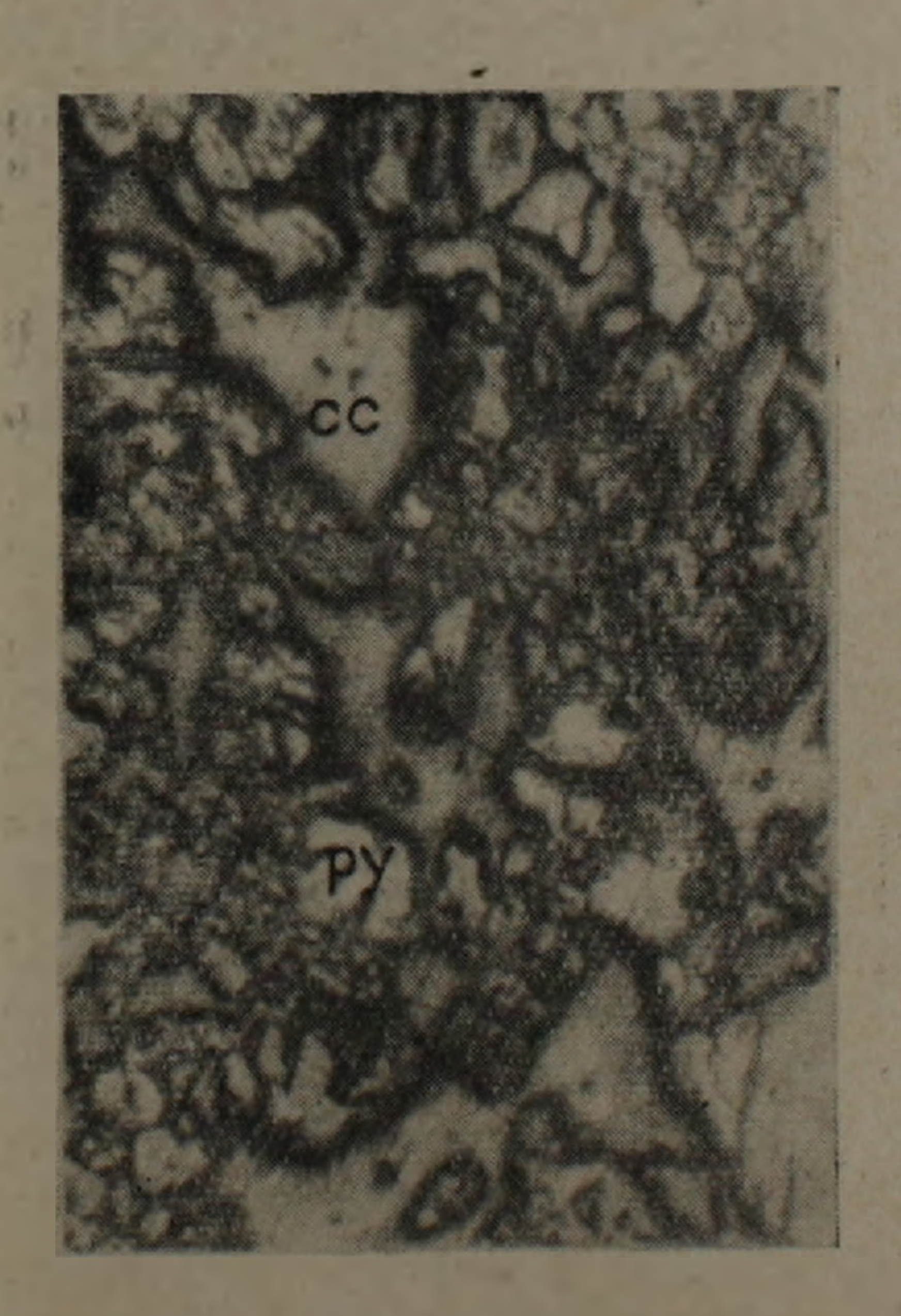
намененные порфириты



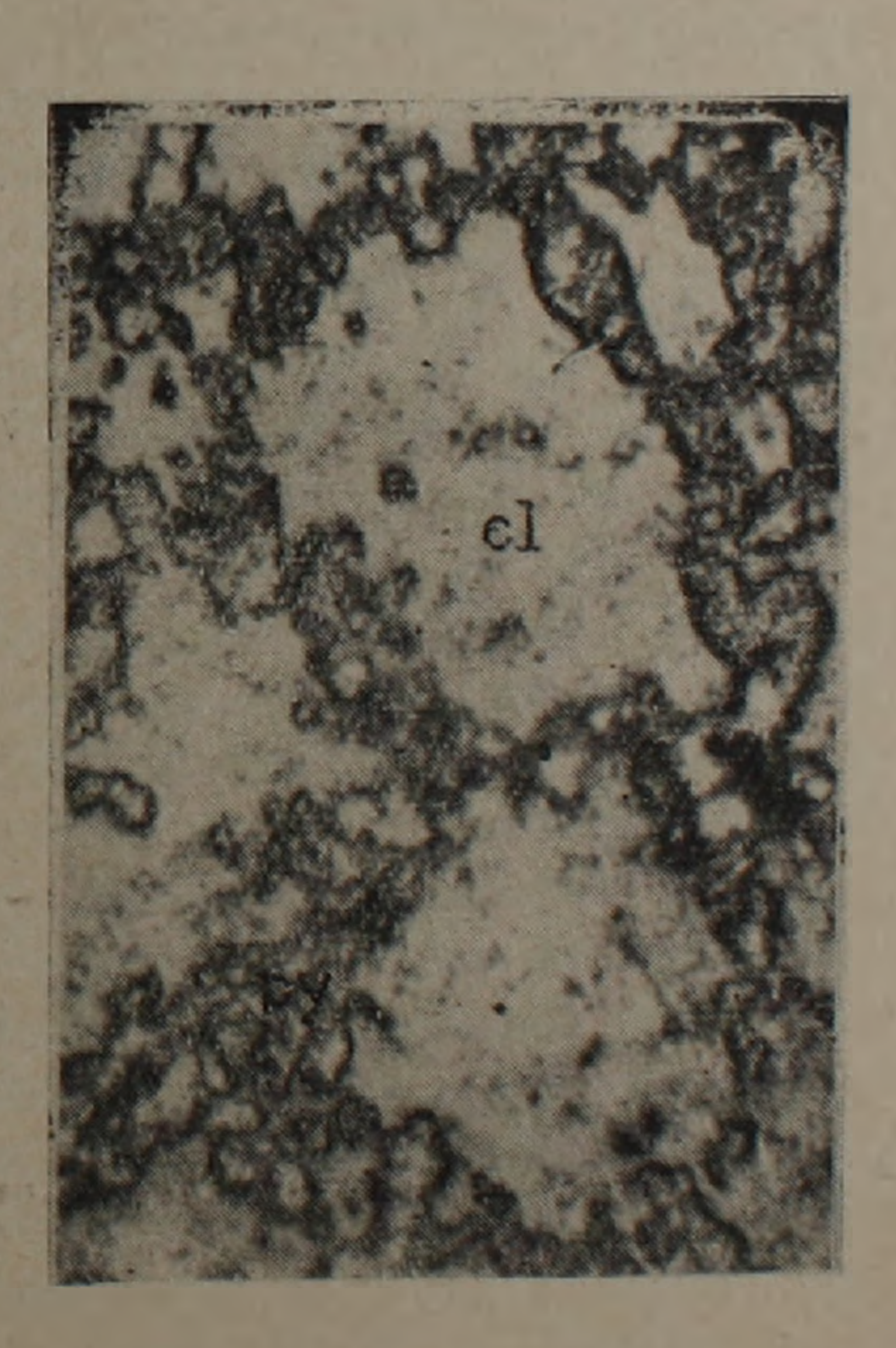
Фиг. 5. Кольцевидные формы пирита в гипогенным халькозине ×70.



Фиг. 6. Каплевідные формы пърита в борните и халькопирите × 100.



Фиг. 7. Скелетные образования пирита в гипогенном халькозине × 42.



Фиг. 8. Кольцевидные формы в сфалерите×70.

1,2—1,4°/₀. Кажущееся противоречие между низким содержанием и вещественным составом рудных агрегатов, выполненных преимущественно богатыми медью минералами, объясняется резким преобладанием в руде пирита, присутствующего суммарно в количестве 50—60°/₀, как в самостоятельных выделениях, так и в тонком срастании с халькозином, энаргитом, борнитом и сфалеритом.

Спектральными анализами мономинеральных проб, отобранных из руд данного участка в энаргите и теннантите обнаружено присутствие германия, а в теннантите еще и висмута, в количестве 0,04%. Возможность нахождения при дальнейших более детальных исследованиях руд штокверка рудника № 6 минералов германия (германита и др.) весьма вероятна, в связи с наличием в аншлифах в полях борнита мельчайших изотропных зерен неизвестного минерала (германита?), более бледного цвета чем борнит. Идентичность минеральной ассоциации данного участка Кафанского месторождения с месторождением Тсумеб (Цумеб) в Южной Африке, в котором германит развит в парагенезисе с пиритом, халькозином, энаргитом, теннантитом и сфалеритом [6] увеличивает вероятность открытия германита в этих рудах.

Изучение вещественного состава руд штокверка и возрастных взаимоотношений слагающих его различных минеральных ассоциаций, позволяет подразделить весь процесс формирования штокверка на следующие шесть стадий минерализации:

Первая стадия—дорудная—серноколчеданная, проявилась в интенсивной вкрапленности пирита во вмещающих породах всего рудного блока—между четырьмя ограничивающими его разломами. Более поздняя субфаза ее отложила на северо-западном фланге сетку прожилков пирита мощностью до 1 см.

Вторая стадия—кварц-пиритовая, выполняет тонкие прожилки в нацело гидротермально измененных и пиритизированных породах, а также слагает зальбанды более мощных жилок в штокверке с полосчатыми или симметрично полосчатыми текстурами.

Третья стадия—пирит-халькозин-борнитовая. В эту стадию выделялась основная масса меди штокверка в виде самостоятельных прожилков, а также путем заполнения центральных частей прожилков, выполненных у зальбандов более ранними кварцем и пиритом (фиг. 9, 10). Преобладающим рудным минералом этой стадии после пирита является халькозин, остальные сульфиды имеют подчиненное значение. Порядок выделения минералов: кварц-пирит-халькозин-борнитковеллин-халькопирит. Иногда наблюдается одновременное выпадение халькозина с колломорфными пиритом и борнитом.

Ковеллин—гипогенный минерал в рудах участка, ассоциирует обычно с халькозином и пиритом, образуя с ними иногда тесные срастания. Реже встречается с кварцем (фиг. 11).

Образования этой стадии широко развиты на горизонтах 924, 893

и 862 штокверка, на верхних же горизонтах халькозин встречается в меньших количествах.

Четвертая стадия—кварц-энаргит-пиритовая; в эту стадию выпало значительно меньшее, по сравнению с предыдущей, количество меди. Проявляется она в узко локализованных участках, располагающихся в виде полосы шириною 15—20 метров, приуроченной к гипсовому разлому, который являлся главной контролирующей структурой штокверка. Количество энаргита в штокверке в некоторых местах заметно увеличивается, по мере приближения к разлому с запада.

На гор. 987, под экранирующей оруденение свитой кварцитизированных туфопесчаников, зона энаргитового оруденения расширяется отходя от гипсового разлома на большее расстояние. В целом же распределение энаргита в штокверке весьма неравномерно и имеет скорее всего спорадический характер.

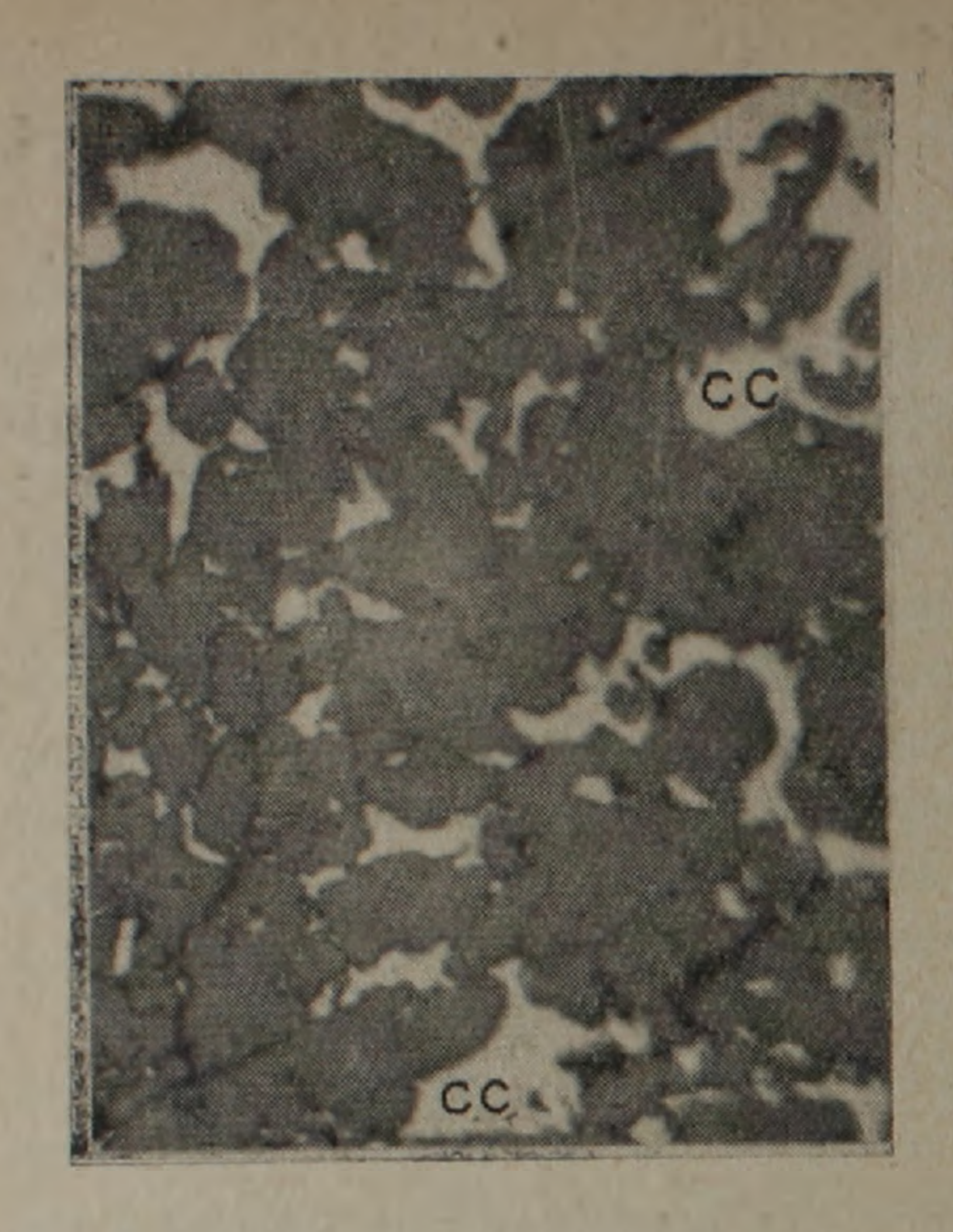
Энаргит в ассоциации с кварцем и пиритом на нижних горизонтах выполняет мелкие и крупные гнезда, реже он встречается совместно с халькозином, выполняя центральные части прожилков симметрично-поясового строения, сложенных у зальбандов образованиями третьей и четвертой стадий. На горизонтах 987 и 960 он встречен в крупных гнездах величиною 4—5 метров в поперечнике и в виде двух жил мощностью 0,1 метра, в ассоциации с кварцем, колломорфным пиритом, халькопиритом и теннантином.

На фоне описанной выше закономерности распределения энаргита весьма интересен факт полного отсутствия его на восточном фланге жилы № 6 у гипсового разлома. Это отклонение от общего правила локализации энаргита — в данном участке, повидимому, следует связывать с переотложением минералов в жиле, вызванным термальным воздействием на нее мощной пострудной дайки габбро-диорита, секущей под острым углом (в плане) восточный фланг жилы на гор. 863 за пределами горных работ. Аналогичные явления термального метаморфизма рудных жил пирит-халькозин-энаргитового состава, на участке пересечения их пострудной дайкой риолит-дацита, наблюдались в месторождении Бьютт в США [8].

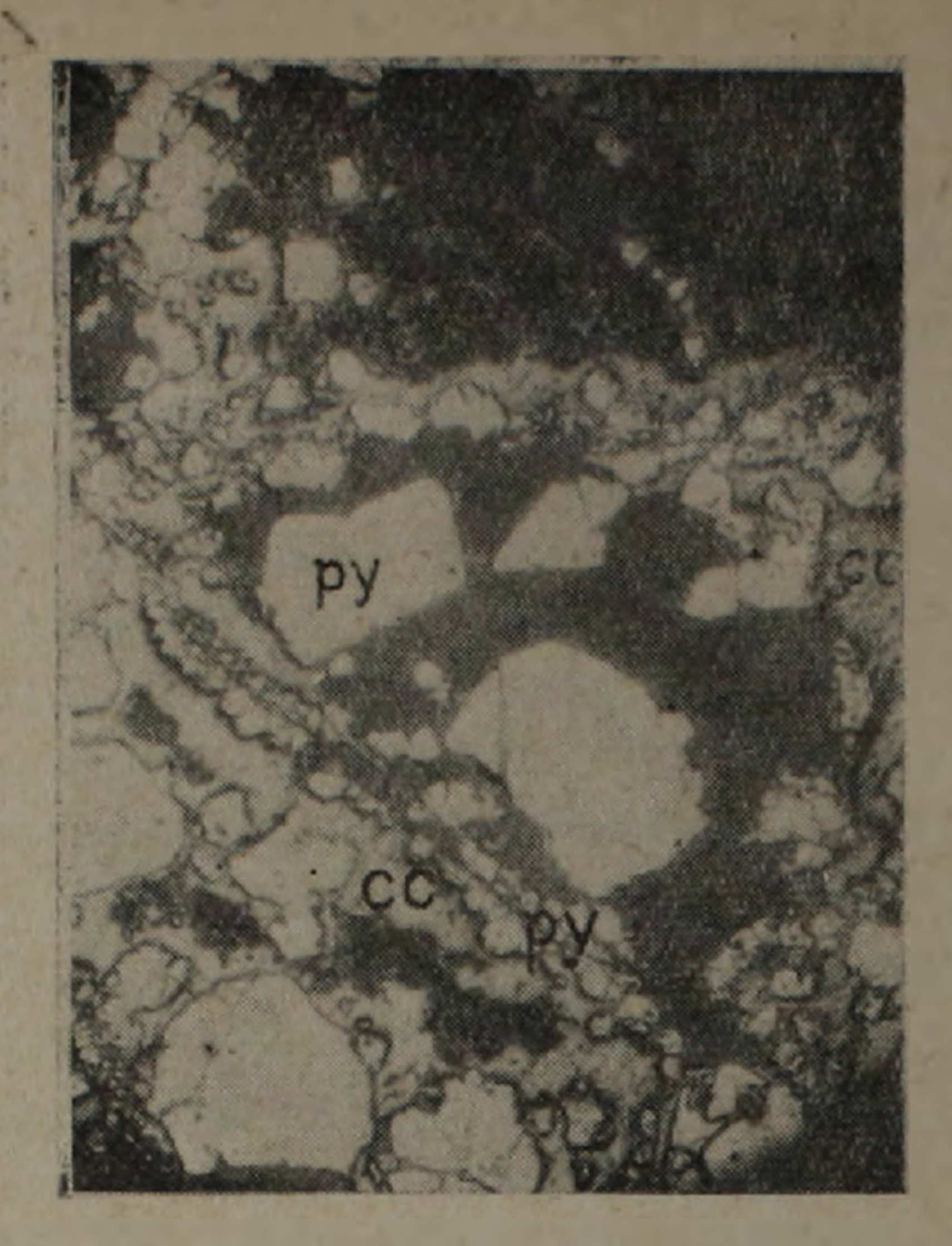
В аншлифах отмечено наличие люцонита-моноклинной разновидности, а также характерные для энаргита таблитчатые идноморфные кристаллы, окруженные, как правило, узкой каемкой халькопирита (фиг. 12). Порядок выделения минералов; кварц-пирит-энаргит-халькопирит.

Пятая стадия — пирит-сфалеритовая, проявляется только на двух верхних горизонтах (987 и 960). Сфалерит представлен двумя разновидностями тонко- и средне-зернистого сложения буровато-черного цвета и выполняет обычно гнезда и реже тонкие прожилки в нацело гидротермально измененных породах. Ассоциирует с молочно-белым кварцем и пиритом, реже встречается совместно с теннантитом и колломорфным халькопиритом.

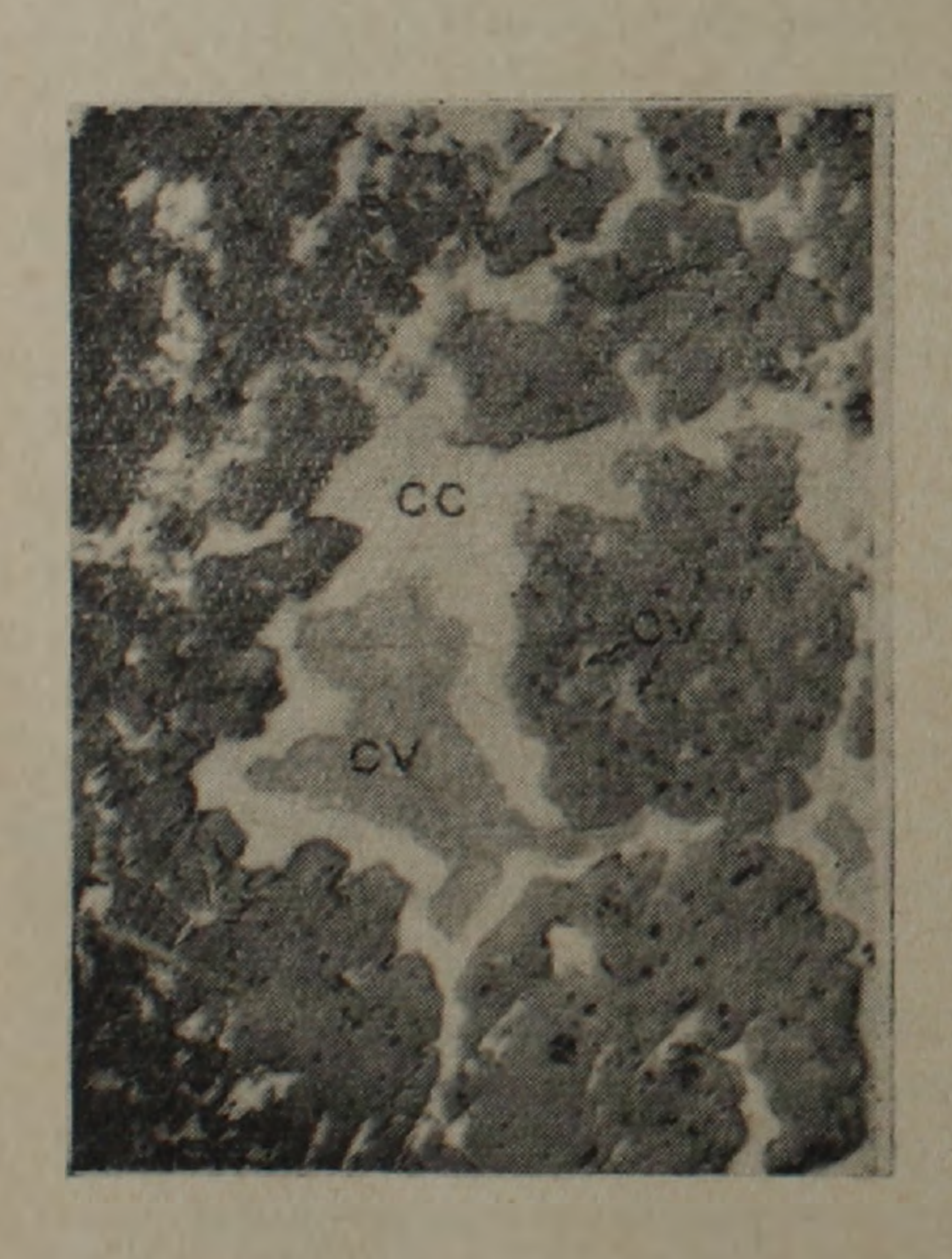
Присутствие в рудах этой стадии тонкозернистого сфалерита, ко-



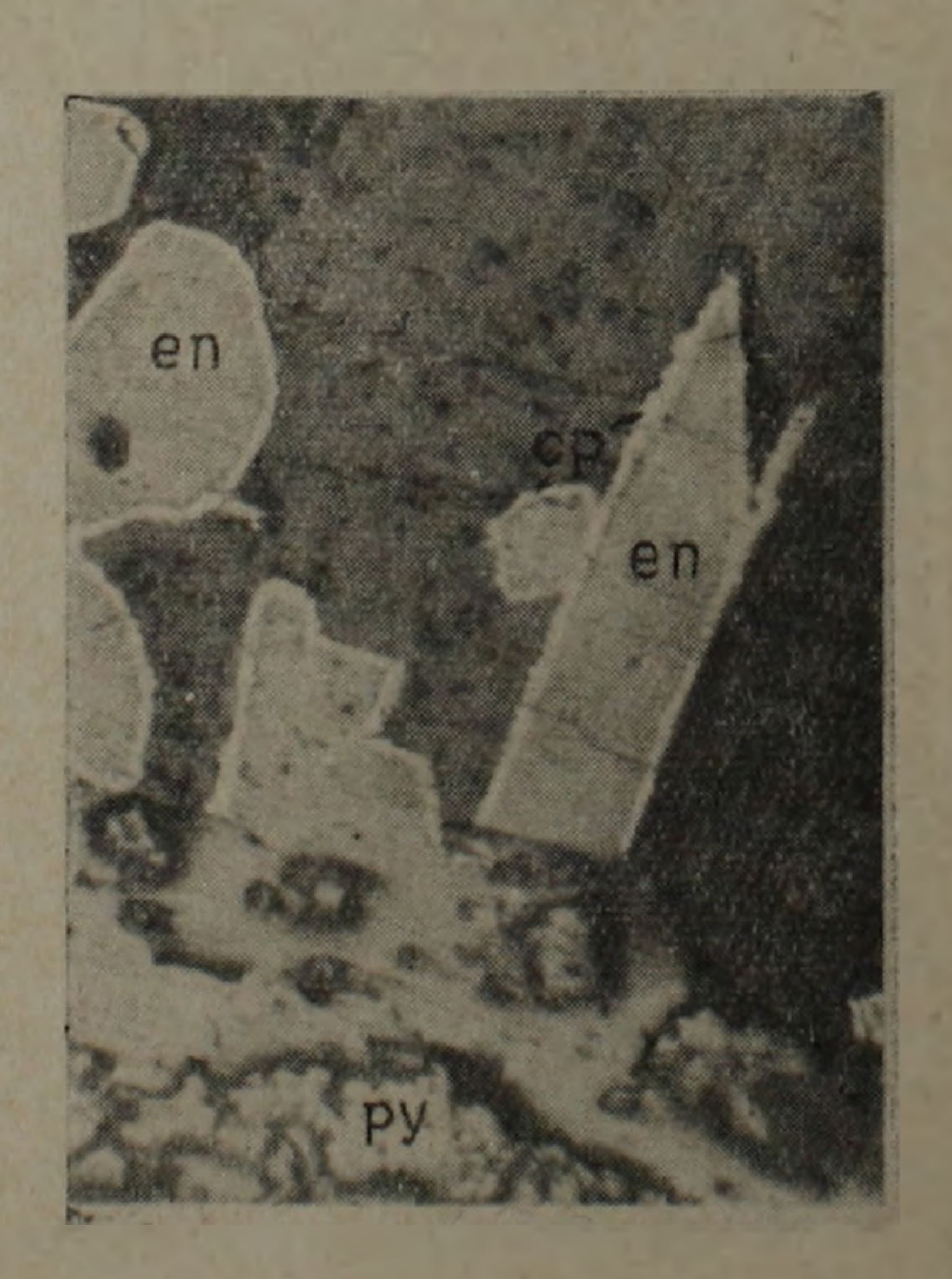
фиг. 9. Интерстициальная структура. Гипогенный халькозин в кварце × 42.



Фиг. 10. Порфирокластическая структура. Идиоморфные зерна пирита сцементированы кварцем (черное), окаймленным колломорфным пиритом, затем повторно сдементированы гипогениым халькозином × 70.



Фиг. П. Графическая структура отложения с гипогенным ковеллином в халькозыние и кварце (темное) × 29.



Фиг. 12. Структура краевых каемок. Кристаллы энаргита с каемками халькопирита в кварце(черное)×70.

торый макроскопически выглядит колломорфным, говорит об отложении его из сильно переохлажденных растворов [5]; причиной образования последних явилось быстрое падение давления в растворах при поступлении их в верхние приповерхностные горизонты участка.

Распределение цинковой минерализации в верхних горизонтах имеет кустовой и гнездовой характер. Горизонтальная алмазно-буровая скважина \mathbb{N}_2 84 на горизонте 960 в интервале 60 метров глубины ее от устья подсекла ряд участков с содержанием цинка в них до $4-5^{\circ}/_{\circ}$.

Шестая стадия—завершающая, отложила тонкие прожилки и гнезда кальцита, флюорита, розового и фиолетового кварца (аметиста) и марказита; на поверхности она проявляется в виде маломощных жилок опало-халцедонового состава, секущих верхнеюрские породы.

Возрастные соотношения проявлений пирит-халькозин-энаргитовой формации восточной зоны прожилково-вкрапленного оруденения рудника № 6 с жилами пирит-халькопиритовой формации, слагающими северный фланг этого же рудника, не выявлены в связи с отсутствием взаимопересечений таковых. Минералогический состав обоих участков и описанная выше последовательность отложения в Кафанском месторождении руд различной формации указывают на то, что руды восточной зоны оруденения отложены позже пирит-халькопиритовых.

Перспективы, описанной зоны прожилково-вкрапленного оруденения, помимо общих, весьма благоприятных структурно-геологических факторов, определяются: 1) слепым характером штокверкового тела, 2) разведанностью его по вертикали на глубину только 160 метров, 3) сохранением одинакового пирит-халькозин-энаргитового состава руд на трех нижних горизонтах в интервале высоты 65—80 метров. Исходя из этого автор считает возможным прогнозировать продолжение промышленного оруденения в штокверке по вертикали дополнительно на 150—200 метров ниже горизонта 862 (—100), со склонением его к северу под северо-восточный разлом, определяющий склонение всего рудника № 6.

Сравнение штокверкового оруденения Кафанского месторождения с другими месторождениями. Штокверковое оруденение в руднике № 6 Кафанского медного месторождения Армянской ССР с необычной гипогенной пирит-халькозин-энаргитовой формацией руд по своему минералогическому составу является весьма редким типом и не имеет аналогов в Советском Союзе, так как во всех медных месторождениях, руды которых содержат халькозин, последний всюду является вторичным минералом, (исключение—гипогенный халькозии Джезказганского месторождения пластовых медистых песчаников в Казахской ССР).

Из зарубежных месторождений наиболее близкими по минеральному составу являются: месторождения Тсумеб в юго-западной Африке, а также знаменитое месторождение Быотт в штате Монтана в США; последнее отличается от штокверкового оруденения рудника № 5 огромными масштабами, высоким содержанием меди, равным 3,5— 4,0%, глубиной рудного столба более 1200 метров с поразительным, еще не нашедшим объяснения, однообразным минеральным составом, включающим халькозин по всему вертикальному протяжению рудного тела.

Что касается штокверка с пирит-халькопиритовым составом руд, то он относится к распространенному типу медного оруденения; в СССР, кроме Армении (Кафан, Шамлуг), этот тип встречен еще на Северном Кавказе в Урупском медном месторождении, а также в ряде медных месторождений Урала, (Карпушиха и др.).

Выводы

Геологические условия формирования штокверков в Кафанском рудном поле определялись следующими факторами:

- 1) Образованием сколовых зон дробления и трещиноватости в узко локализованных участках, строго подчиненных структурному контролю.
- 2) Приуроченностью вышеуказанных благоприятных для рудоотложения зон: a) к резким изгибам тектонических нарушений (штокверк рудника № 7—10), b) к лежачему крылу одного из тектонических нарушений, образующих структуру экранирующей крыши (восточный илокверк рудника № 6), b) к лежачим крыльям крупных тектонических нарушений типа взбросов (штокверки рудников № 1—2, b0, Пагалты, Беюк, Пача и Харлампий) и b1 к участку междужильных прожилков и вкрапленников (штокверки в рудниках им. Шаумяна и Саралых).
- 3) Выполнением штокверковых участков Кафанского рудного поля продуктами трех последовательных стадий единого рудного процесса, с выделением из растворов в условиях небольших глубин, малого давления и низких (100—275°) температур, соответственно трех пространственно обособленных и различных по составу рудных формаций; a) пирит-хакькопиритовой (штокверки в рудниках N_2N_2 1—2, 6, 7—10, Саралых и др.), пирит-халькозин-энаргитовой (восточный штокверк рудника N_2 6) и n0 полиметаллической (штокверк рудника n1 пирит-халькозин-энаргитовой (восточный штокверк рудника n2 б) и n3 полиметаллической (штокверк рудника n3 полиметаллической (штокверк рудника n4 пирит-халькозин-энаргитовой (восточный штокверк рудника n5 б) и n6 полиметаллической (штокверк рудника n5 б) и n6 полиметаллической (штокверк рудника n6 гизин-
- 4) Выполнением рудообразующими растворами трещиноватых зон, структурно подготовленных несколькими последовательными фазами тектонической активности стресса, с пульсационным характером поступления растворов, изменяющихся в интервале времени каждой стадии рудогенеза.
- 5). Отложением прожилково-вкрапленных руд пирит-халькопиритовой формации в штокверке рудника N_2 7—10 и других участках в главную рудную стадию минерализации с выделением основной массы

меди. Оно происходило здесь в условиях относительно медленной и спокойной кристаллизации выпадающих минералов, без резкого падения давления растворов и при несколько более высокой температуре, чем в руднике № 6, в связи с вероятным прогревом вмещающих пород данного участка. Эти особенности рудоотложения объясняют причину отсутствия в рудах штокверка № 7—10 тонкозернистых структур и колломорфных текстур халькопирита, встречающихся почти во всех других участках месторождения.

6) Отложением прожилково-вкрапленных руд пирит-халькозинэнаргитовой формации в восточном штокверке рудника № 6 во вторую стадию минерализации только на одном из 23 известных в Кафанском рудном поле участков. Выпадение минералов из растворов в эту стадию происходило в аналогичной штокверку рудника № 7—10 рудолокализующей структуре, из истинных растворов, которые по мере подъема их в приповерхностную зону, вследствие резкого падения давления, становились резко пересыщенными и отлагали сульфиды в виде геля сложного состава, позже частично раскристаллизовавшегося.

Участие в процессах минералообразования восточного штокверка рудника № 6 растворов коллоидного происхождения подтверждается широким развитием в рудах колломорфных и тонкозернистых структур смеси халькозина, пирита, борнита и сфалерита.

Образование в рудах штокверка, при температуре до 105°С гипогенного халькозина и ковеллина (а не халькопирита), в ассоциации с пиритом и борнитом, в полосе шириною 25—35 метров строго локализованной вдоль плоскости гипсового разлома, вызвано не только избытком меди и серы в растворах, но также и повышенным потенциалом кислерода в зоне дробления, обусловленным близостью поверхности.

7) Отложением прожилково-вкрапленных руд полиметаллического состава в третью сталию минерализации с выполнением зоны междужильных прожилков в рудниках им. Шаумяна и мелких зон вкрапленников сфалерита в других участках—рудник $\mathbb{N} 1-2$ (южнее шахты Мецмагара), а также образованием более крупных жил в рудниках им. Шаумяна, Барабатум, Чинар и Норашеник.

Выполнение этих участков происходило в условиях среды обладающей высокой проницаемостью для растворов, которые могли свободно циркулировать по трещинным полостям и медленно отлагать в них свой груз без резкого спада давления, в связи с чем руда в жилах и штокверковых участках рудника им. Шаумяна сложена рудами с массивными, симметрично полосчатыми и реже крустификационными текстурами грубозернистого строения.

8) Формированием штокверковых и жильных тел преимущественно в породах среднеюрского возраста, при полном отсутствии рудоносности в отложениях верхней юры, что стратифицирует оруденение и определяет возраст его как верхне-байоский. Последний по абсолютному летоисчислению, в сопоставления с установленным абсолютчизвестия X, № 4—7

ным возрастом нижне-мелового Цавского массива гранодиорита в 130 миллионов лет, выражается цифрой порядка 140—145 миллионов лет. Этому возрасту несколько противоречит отсутствие метаморфизма руд и их весьма свежий облик. Возраст оруденения в Кафанском рудном поле в дальнейшем, возможно, удастся уточнить, путем изучения изотопного состава свинца Шаумян-Халаджского участка.

В заключение можно отметить, что штокверки Кафанского рудного поля морфогенетически, по классификации Г. Н. Щербы [7], относятся к типу штокверков линейных зон крупных разломов, характеризующихся наличием в них системы параллельных мелких трещин, развитых по сколовым трещинам дробления.

Перспективы расширения сырьевой базы Кафанского месторождения связаны целиком с выявлением новых штокверковых участков с рудами прожилково-вкрапленного типа, в еще не вскрытых разведкой слепых рудных блоках.

Институт геологических наук АН Армянской ССР

Поступила 1 VIII 1957 г.

Ս. Ս. ՎԱՆՅՈՒՇԻՆ

ՇՏՈԿՎԵՐԿՆԵՐԻ ԱՌԱՋԱՑՄԱՆ ԳԵՈԼՈԳԻԱԿԱՆ ՊԱՅՄԱՆՆԵՐԸ ՂԱՓԱՆԻ ՀԱՆՔԱԳԱՇՏՈՒՄ

U. uhnyhniu

Այս հոդվածը ի մի է բերում Ղափանի հանքավայրում հեղինակի կատարած գիտահետազոտական ու հետախուղական աշխատանքների արդյունըները։

Ղափանի հանքադաշտում, որը դրավում է 30—35 կմ² տարածություն և կաղմված է յուրայի հասակի հրաբխածին-նստվածքային ապարներից, հայտնի են 23 հանքային տեղամասեր, որոնք շահագործվել են դեռ նախառևոլյուցիոն շրջանում և ռևոլյուցիայից հետու Այդ տեղամասերում 100 տարվա շահագործ-ման ընթացքում հայտնաբերված են 350-ից ավելի հանքային երակ և 14 շտոկվերկ, որոնցից 155 երակ և 4 շտոկվերկ ունեն արդյունաբերական նշա-նակություն։

Հանքայնացման ստրուկտուրային հսկիչը բավական կտրուկ է և արտահայտնվում է նրանով, որ 19 հանքային տեղամասեր տեղադրված են մինչհանքային հեղքվածքների պառկած ու կախված Թևերում, իսկ 4 տեղամասեր դտնվում են էկրան հանդիսացող ծածկերի փակ ստրուկտուրաներում։ Վերջիններս ներկայացնում են 2—3 դիղյունկտիվ խախտումների փոխհատման կոմբինացիա, որոնց անկման անկյունները խորքում տարբերվում են։

Հեղինակին հաջողվել է հայտնաբերել հանքայնացման տեղադրման ընդհանուր օրինաչափությունը, որն արտահայտվում է հանքայնացման տեղադրումով մինչհանքային խախտումների նպաստավոր մասերում, խախտումների երկայնքով 150—200 մետր լայնության ղոլի ձևով։

Ղաւիանի հանքավայրի մետալոդենիան ընութադրվում է 3 անջատ տեղադրված հանրային ֆորմացիաներով։

- *I) Պիրիտ-իսալկոսլիրիտային*, ուր նանդիպում է նամաւյա թե բոլու տեղամասեւում։
- 2) Պիրիտ-խալկոզին-էնարգիտային, որը հանդիպում է միայն մի տեղամասում։
- 3) Բաղմամետաղային, ուր տաբածված է մի քանի տեղամասեւում։ Այս ֆումացիայի նամաւ բնուռը են կույւ նանքային մաւմիննեւ։

Ներկայումս հայտնի 14 շտոկվերկներից ամենախոշորներն են՝ № 7—10, № 6։

№ 7—10 նանքի չտոկվերկը *ներկայացված է խոշոր ոսպ*նյակաձև մարմնով, որի չափսերն են ըստ տարածման 220 մ, ըստ անկման 470—550 մ, կարողությունը 10—50 մ։

Հանքայնացումը տեղադրված է արևելյան սայատդաչյան խախտումի պառկած Թևի ջարդված տեղամասում և սեղմված է վերջինիս և մինչ-հանքայնացման հասակի կվարց-պորֆիրային դայկայի միջև։

Հանքայնացիումն արտահայտված է մի խումբ զուդահեռ, կարճ (15—20 մ), կարողությամբ ոչ կայուն (0,01—0,1 մ), կուլիսանման տեղադրված պիրիտխալկոսլիրիտային և կվարցային երակներով, բներով ու ներփակումներով։

Շտոկվերկում հայկագյուտ հանդիպում են կարձ (15—25 մ), 0,5—1,5 մ կարողություն ունեցող հարուստ բյուրեղային խալկոպիրիտի ոսպնյակներ, որոնք տեղադրման էլեմենտներով համապատասխանում են երակիկային սիս-տեմին։ Ճեղքվածքների ուղղությամբ շտոկվերկից անջատվում են հակառակ՝ հարավային անկում ունեցող մի շարք ինքնուրույն երակներ, որոնցից ամե-նամեծ հետաքրքրությունը ներկայացնում է \ 5 հարուստ երակը։

Շտոկվերկի միներալային կազմը սլարզ է և ներկայացված է երկու հանրանյուն առաջացնող սուլֆիդով՝ խալկոսլիրիտով և սլիրիտով։ Երակային միներալներից ներկա են կվարցը և չնչին քանակով կալցիտը, դիպսը և կաոլինիտը։ Առաջնային ուղղաձիդ դոնալականունյունը բացակայում է և հանքանյունի կագմը ըստ խորունյան չի փոխվում։ Պղնձի բաշխումը շտոկվերկի բոլոր հորիզոններում անհավասարաչավ։ է և պակասում է կննտրոնից դեպի ծայրամասերը։

Պղնձի միջին պարունակությունը հանքանյութում կազմում է 1,6%, տատանվելով 0,5% մինչև 7,0% սահմաններում։ № 6 հանքի շտոկվերկը, որը կոչվում է արևելյան երակիկա-ցանավոր հանքայնացման զոնա, ներկայացված է յուրահատուկ և Ղափանի հանքի համար անսովոր պիրիտ-խալկոզին-էնարգիտային հանքանյութի ֆորմացիայով։

Մորդոլոգիական տեսակետից շտոկվերկը ներկայացված է հարթ ոսպնյակաձև հանրային մարմնով, ունի միջօրևականին մոտ տարածում և արևելյան անկում։

Շտոկվերկում Հանքայնացումը ներկայացված է՝ 1) զուդահեռ, կարձ, վաքըր հղորության, թեք անկման հրակիկների սիստեմով, որն—ունի համարյա լայնակի տարածում և 2) հիդրոթերմալ փոփոխված և սլիրիտացված կվարցսլադիոկլագային պորֆիրիտների ներփակումների և բների սիստեմով, որը հատվում է հետհանքայնացման հասակի հյուսիս-արևմտյան տարածման և թեք անկման դաբրո-դիորիտային դայկայով։

Շտոկվերկի միներալային կազմը հետևյալն է՝ պիրիտ, կվարց, խալկողին, էնարդիտ, սֆալերիտ, բոռնիտ, տեննանտիտ, խալկոպիրիտ և կովելլին։ Սուլֆիղների շարքում դերակշռողը հանդիսանում է պիրիտը, այդ իսկ պատճառով պղնձի միջին պարունակությունը հանքանյութում բարձր չէ, սովոր<mark>աբար տա</mark>տանվում է 1,0—1,4% սահմաններում։ Բացի պղնձից_ն հանքանյութում հայտնաբերված է բիսմուտի և գերմանիումի առկայություն։

Տեղամասի գլխավոր Հսկող սարուկտուրան Հանդիսանում է միջօրեականի տարածման և դեսի արևելք 35—60° անկյան տակ ընկած գիպսային խախտումը, որի պառկած կողում դտնվում է ամբողջ արևելյան զոնայի արդյունաբերական Հանքայնացումը։ Խախտումից հեռանալով դեպի արևմուաք
հանքայնացման ինտենսիվությունը նվաղում է և 25—30 մ հեռավորության վրա
ներկայացված է պիրիտով։

№ 6 և № 7—10 հանքի շտոկվերկների կազմավորումը կատարվել է ցածր (100—275) ջերմաստիճանի պայմաններում, մակերեսից 200—700 մ իւորության վրա, երկու տարբեր էտապներում, որոնք բաժանվում են հանքայնացման 6 ստաղիաների։ Դրանցից մեկը եղել է գլխավորը և անջատել է պղնձի հիմնական մասը։ Հանքայնացումը տեղադրվել է զուդահեռ բեկորատված ղոնաների հեղքերում, բաղմաթիվ ծակոտիներում և դատարկություններում, մասամբ մետասոմատողի հետևանքով։

Հանքային լուծույթների անմիջական աղբյուրը պետք է համարել խորքային մագմատիկ օջախը, որից սկզբում անջատվել են կվարց-պորֆիրների մերձմակերեսային ինտրուզիվ մարմինները։

ЛИТЕРАТУРА

- 1. В. Г. Грушевой и М. П. Русаков. Зангезур, его промышленное лицо и перспектива Разведка недр, 1934 г.
- 2. В. Н. Котляр и А. Д. Додин. Зангезурское медное месторождение, его структура, оруденение и генезис. Цветные металлы, 1937 г., № 3.
- 3. Ф. И. Вольфоон. Некоторые закономерности размещения эндогенных месторождений различных генетичеких типов. Тр. Ин-та Геолог. наук.
- 4. Б. С. Вартапетян. О структуре и новом типе оруденения в Зангезуре. Изв. Ак. наук АрмССР, 1947 г., № 1.
- 5. А. Бетехтин. Гидротермальные растворы, их природа и процессы рудообразования. Сборник "Основные проблемы в учении о магматогенных рудных месторождениях". Изд. Акад. наук СССР, 1955 г.
- 6. Е. Орлова и Е. Маркова. Ресурсы меди, свинца и цинка в капиталистических странах. Госгеолтехиздат, 1956 г.
- 7. Г. Щерба. Геологические условия образования некоторых штокверков и зональность оруденения. Изв. Ак. наук Казахской ССР, 1955 г., вып. 21.
- 8. R. Sales and et C. Meyer. Efect of post ore dike intrusion on Butte ore minerals. Economic, Geology, 1951, № 8.